

Rozwiązywanie układów równań różniczkowych zwyczajnych

Sofia Kuzmenko

*Oświadczam, że niniejsza praca, stanowiąca podstawę do
uznania osiągnięcia efektów uczenia się z przedmiotu
Modelowanie matematyczne została wykonana przeze mnie
samodzielnie.*

Modelowanie matematyczne

Prowadzący: J.Wagner

Politechnika Warszawska
Wydział Matematyki i Nauk Informacyjnych
Warszawa
30 XI 2023

Spis treści

1	Listy symboli matematycznych i akronimów	2
2	Wprowadzenie	3
3	Metodyka i wyniki doświadczeń	4
3.1	Obliczanie dokładnego rozwiązania	4
3.2	Procedura <i>ode45</i>	5
3.3	<i>Metoda (b)</i>	6
3.4	<i>Metoda (c)</i>	7
3.5	<i>Metoda (d)</i>	9
3.6	Badanie zależności dokładności rozwiązań numerycznych uzyskanych za pomocą <i>metod (b), (c), (d)</i>	11
4	Dyskusja wyników eksperymentów numerycznych	12
5	Wnioski	14
6	Listing programów	15
6.1	zad1.m	15
6.2	zad2a.m	15
6.3	rown.m	16
6.4	zad2bc.m	16
6.5	zad2d.m	18
6.6	plotter.m	20
6.7	help_plotter.m	21
6.8	zad3.m	22
6.9	procescurrenth.m	24
6.10	countdeltas.m	25
6.11	help_zad3.m	26

1 Listy symboli matematycznych i akronimów

t, h	—	zmienne skalarne
x, y_1, y_2	—	wektory zmiennej skalarnej t
$\dot{y}_1, \dot{y}_2, \hat{y}_2, \hat{y}_1$	—	wektory liczb rzeczywistych
\mathbf{y}, \mathbf{f}	—	macierze zmiennej skalarnej t
A	—	macierz liczb rzeczywistych
$\frac{\partial y_1}{\partial t}, \frac{\partial y_2}{\partial t}$	—	pochodne funkcji y_1 oraz y_2 po t
$\delta_1(h), \delta_2(h)$	—	błędy względne agregowane przy kroku h dla wektorów y_1 i y_2 odpowiednio

Lista akronimów

URRZ — układ równań różniczkowych zwyczajny

2 Wprowadzenie

W tym raporcie będziemy rozwiązywali **URRZ(1)**, gdzie $t \in [0, 8]$ oraz $x(t) = \exp(-t)\sin(t)$

$$\begin{cases} \frac{\partial y_1}{\partial t} = \frac{-26}{3}y_1(t) - \frac{10}{3}y_2(t) + x(t) \\ \frac{\partial y_2}{\partial t} = \frac{10}{3}y_1(t) - \frac{1}{3}y_2(t) + x(t) \end{cases} \quad (1)$$

za pomocą wbudowanych metod Matlabu ***dsolve*** i ***ode45***, oraz modyfikowanych method Eulera, zdefiniowanych wzorami (b), (c) i (d), które w dalszej części raportu będą się pojawiały pod nazwami *metoda (b)*, *metoda (c)* oraz *metoda (d)* odpowiednio. Przyjmujemy, że $\mathbf{y}_n = [y_1(t_n), y_2(t_n)]^T$, a $\mathbf{f}(t_n, \mathbf{y}_n)$ jest określona jako $\frac{\partial \mathbf{y}(t)}{\partial t}|_{t=t_n} = \mathbf{f}(t_n, \mathbf{y}_n)$

$$\mathbf{y}_n = \mathbf{y}_{n-1} + \frac{h}{2}[3\mathbf{f}(t_{n-1}, \mathbf{y}_{n-1}) - \mathbf{f}(t_{n-2}, \mathbf{y}_{n-2})] \quad (b)$$

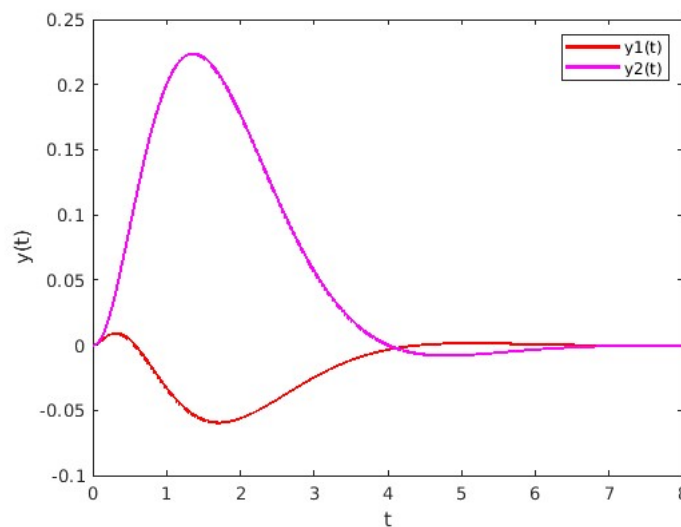
$$\mathbf{y}_n = \mathbf{y}_{n-1} + \frac{h}{12}[5\mathbf{f}(t_n, \mathbf{y}_n) + 8\mathbf{f}(t_{n-1}, \mathbf{y}_{n-1}) - \mathbf{f}(t_{n-2}, \mathbf{y}_{n-2})] \quad (c)$$

$$\mathbf{y}_n = \mathbf{y}_{n-1} + h \sum_{k=1}^3 w_k \mathbf{f}_k \quad (d)$$

W metodzie (d) $\mathbf{f}_k = \mathbf{f}(t_{n-1} + c_k h, \mathbf{y}_{n-1} + h \sum_{K=1}^3 a_{K,k} \mathbf{f}_K)$, a współczynniki $\alpha_{i,i}, \omega_i, c_i$ przyjmują wartości podane w tabeli Butchera na rysunku 1.

$$\begin{array}{c|ccc} c_1 & a_{1,1} & a_{1,2} & a_{1,3} \\ c_2 & a_{2,1} & a_{2,2} & a_{2,3} \\ c_3 & a_{3,1} & a_{3,2} & a_{3,3} \\ \hline & w_1 & w_2 & w_3 \end{array} = \begin{array}{c|ccc} 0 & \frac{1}{6} & -\frac{1}{6} & 0 \\ \frac{1}{2} & \frac{1}{6} & \frac{1}{3} & 0 \\ 1 & \frac{1}{6} & \frac{5}{6} & 0 \\ \hline & \frac{1}{6} & \frac{2}{3} & \frac{1}{6} \end{array}$$

Rysunek 1: Tabela współczynników Butchera

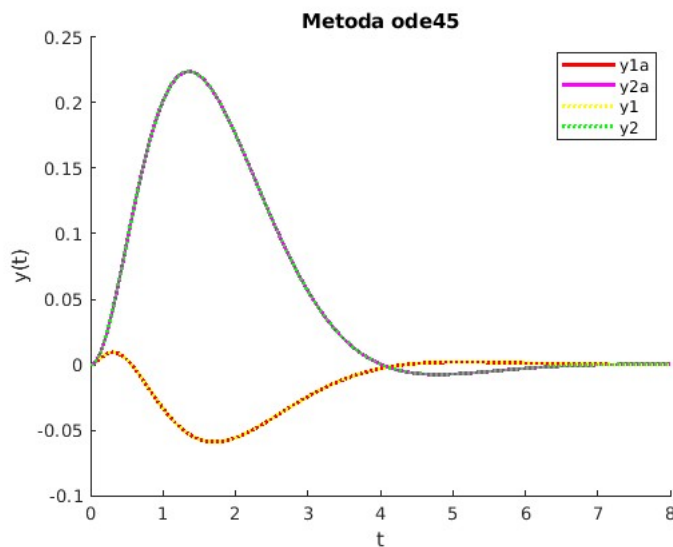


Rysunek 2: Wykres wyników procedury *dsolve*

3 Metodyka i wyniki doświadczeń

3.1 Obliczanie dokładnego rozwiązania

W funkcji *zad1*, przedstawionej na urywku kodu (1), obliczamy wartości y_1, y_2 za pomocą wbudowanej procedury *dsolve* środowiska MATLAB. W dalszej części tego raportu będziemy przyjmowali je za dokładne rozwiązanie **URRZ**(1). Posłużą nam do badania dokładności rozwiązań numerycznych uzyskanych za pomocą *metod* (b), (c), (d). Warunki początkowe z założenia są zerowe. Wykres wektorów uzyskanych za pomocą procedury *dsolve* $y_1(t), y_2(t)$, gdzie $y_1(t) = \dot{y}_1, y_2(t) = \dot{y}_2$, jest przedstawiony na rysunku 2



Rysunek 3: Wykres wyników procedury *ode45*

3.2 Procedura *ode45*

Procedura *ode45* akceptuje jako pierwszy argument funkcję dwóch zmiennych, a dla uzyskania wyniku w naszym przypadku trzeba przekazać wektor składający się z dwóch funkcji dwóch zmiennych. Posługując się dokumentacją MATLABa tworzymy zatem dodatkową funkcję, *rown*, podaną w urywku kodu (1), która będzie przyjmowała dwa wektory i zwracała odpowiednio wektor, zawierający dwie funkcje dwóch zmiennych, i przekazujemy do *ode45* uchwyt do niej. W wektor wyjściowy funkcji *rown* wstawiamy zamiast $x(t)$ bezpośrednio funkcję $\exp(-t)\sin(t)$. Wykres wyników, gdzie $y_1 = \dot{y}_1$, $y_2 = \dot{y}_2$ oraz $y1a, y2a$ - przybliżone wartości rozwiązań **URRZ** (1), uzyskane za pomocą procedury *ode45*, jest przedstawiony na rysunku 3

(1)

```
function dydt = rown(t,y)
dydt = [
(-26/3)*y(1)+ (-10/3)*y(2) + exp(-t)*sin(t);
(10/3)*y(1) + (-1/3)*y(2) + exp(-t)*sin(t)];
end % function
```

3.3 Metoda (b)

Dla zaimplementowania metody (b) przekształcamy jej wzór, podany w (3.1.1), gdzie (3.1.2)

$$\mathbf{y}_n = \mathbf{y}_{n-1} + \frac{h}{2}[3\mathbf{f}(t_{n-1}, \mathbf{y}_{n-1}) - \mathbf{f}(t_{n-2}, \mathbf{y}_{n-2})] \quad (3.1.1)$$

$$\frac{\partial \mathbf{y}(t)}{\partial t}|_{t=t_n} = \mathbf{f}(t_n, \mathbf{y}_n) \quad (3.1.2)$$

Najpierw $URRZ$ (1) przekształcamy do postaci (3.2.1), gdzie (3.2.2)

$$\frac{\partial \mathbf{y}(t)}{\partial t} = A\mathbf{y}(t) + \mathbf{b}x(t) \quad (3.2.1)$$

$$A = \begin{bmatrix} -\frac{26}{3} & -\frac{10}{3} \\ \frac{10}{3} & -\frac{1}{3} \end{bmatrix}, \quad \mathbf{b} = \begin{bmatrix} 1 \\ 1 \end{bmatrix}, \quad \mathbf{y}_n = \begin{bmatrix} y_1(t) \\ y_2(t) \end{bmatrix} \quad (3.2.2)$$

Podstawiając $\mathbf{f}(t_n, \mathbf{y}_n)$ do wzorów (3.1.2) oraz (3.2.1), dostajemy wzór (3.3.1)

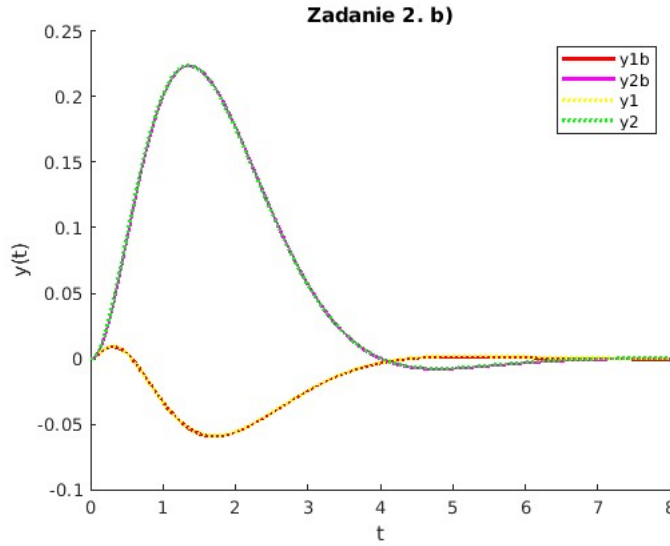
$$\mathbf{f}(t_n, \mathbf{y}_n) = A\mathbf{y}_n + \mathbf{b}x(t_n) \quad (3.3.1)$$

Podstawiając otrzymaną postać $\mathbf{f}(t_n, \mathbf{y}_n)$ we wzór (3.1.1) dostajemy wzór (3.4.3). Proces przekształcania podany we wzorach (3.4.1)-(3.4.3)

$$\mathbf{y}_n = \mathbf{y}_{n-1} + \frac{h}{2}[3(A\mathbf{y}_{n-1} + \mathbf{b}x(t_{n-1})) - (A\mathbf{y}_{n-2} + \mathbf{b}x(t_{n-2}))] \quad (3.4.1)$$

$$\mathbf{y}_n = \mathbf{y}_{n-1} + \frac{3h}{2}A\mathbf{y}_{n-1} + \frac{3h}{2}\mathbf{b}x(t_{n-1}) - \frac{h}{2}[A\mathbf{y}_{n-2} + \mathbf{b}x(t_{n-2})] \quad (3.4.2)$$

$$\mathbf{y}_n = (I + \frac{3h}{2}A)\mathbf{y}_{n-1} + \frac{3h}{2}\mathbf{b}x(t_{n-1}) - \frac{h}{2}[A\mathbf{y}_{n-2} + \mathbf{b}x(t_{n-2})] \quad (3.4.3)$$



Rysunek 4: Wykres wyników funkcji implementującej *metodę (b)*

Ponieważ *metoda (b)* jest 2-krokowa, obliczamy \mathbf{y}_2 za pomocą niejawnej metody Eulera (3.5.1), otrzymując (3.5.2)

$$\mathbf{y}_2 = \mathbf{y}_1 + h\mathbf{f}(t_2, \mathbf{y}_2) \quad (3.5.1)$$

$$\mathbf{y}_2 = (I - \frac{h}{2}A) \setminus (\mathbf{y}_1 + \frac{h}{2}\mathbf{b}x(t_2)) \quad (3.5.2)$$

Wykres wyników dla kroku $h=0.005$, gdzie $y_1 = \dot{y}_1, y_2 = \dot{y}_2$ oraz $y1b, y2b$ - przybliżone wartości rozwiązań **URRZ** (1), uzyskane za pomocą funkcji *zad2bc* implementującej *metodę (b)*, jest przedstawiony na rysunku 4

3.4 Metoda (c)

Przekształcamy wzór *metody (c)* (4.1.1) analogicznie jak w przypadku *metody (b)*, rozwijając $\mathbf{f}(t_n, \mathbf{y}_n)$. Przekształcenia można prześledzić na wzorach (4.2.1)-(4.2.4)

$$\mathbf{y}_n = \mathbf{y}_{n-1} + \frac{h}{12}[5\mathbf{f}(t_n, \mathbf{y}_n) + 8\mathbf{f}(t_{n-1}, \mathbf{y}_{n-1}) - \mathbf{f}(t_{n-2}, \mathbf{y}_{n-2})] \quad (4.1.1)$$

$$\mathbf{y}_n = \mathbf{y}_{n-1} + \frac{h}{12} [5(A\mathbf{y}_n + \mathbf{b}x(t_n)) + 8(A\mathbf{y}_{n-1} + \mathbf{b}x(t_{n-1})) - (A\mathbf{y}_{n-2} + \mathbf{b}x(t_{n-2}))] \quad (4.2.1)$$

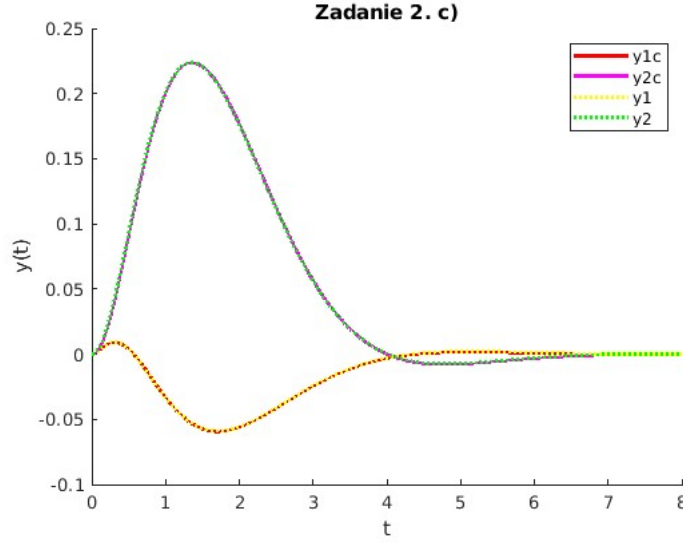
$$\mathbf{y}_n - \frac{5h}{12}A\mathbf{y}_n = (\mathbf{y}_{n-1} + \frac{8h}{12}A\mathbf{y}_{n-1}) + \frac{5h}{12}\mathbf{b}x(t_n) + \frac{8h}{12}\mathbf{b}x(t_{n-1}) - \frac{h}{12}(A\mathbf{y}_{n-2} + \mathbf{b}x(t_{n-2})) \quad (4.2.2)$$

$$(I - \frac{5h}{12}A)\mathbf{y}_n = (I + \frac{8h}{12}A)\mathbf{y}_{n-1} + \frac{5h}{12}\mathbf{b}x(t_n) + \frac{8h}{12}\mathbf{b}x(t_{n-1}) - \frac{h}{12}(A\mathbf{y}_{n-2} + \mathbf{b}x(t_{n-2})) \quad (4.2.3)$$

$$\mathbf{y}_n = (I - \frac{5h}{12}A) \setminus [(I + \frac{8h}{12}A)\mathbf{y}_{n-1} + \frac{5h}{12}\mathbf{b}x(t_n) + \frac{8h}{12}\mathbf{b}x(t_{n-1}) - \frac{h}{12}(A\mathbf{y}_{n-2} + \mathbf{b}x(t_{n-2}))] \quad (4.2.4)$$

Analogicznie jak w przypadku z *metodą (b)* obliczamy y_2 według wzoru (3.5.2).

Wykres wyników, gdzie $y_1 = \dot{y}_1, y_2 = \dot{y}_2$ oraz $y1c, y2c$ - przybliżone wartości rozwiązań **URRZ** (1), uzyskane za pomocą funkcji *zad2bc* implementującej *metodę (c)*, jest przedstawiony na rysunku 5



Rysunek 5: Wykres wyników funkcji implemetującej *metodę (c)*

3.5 Metoda (d)

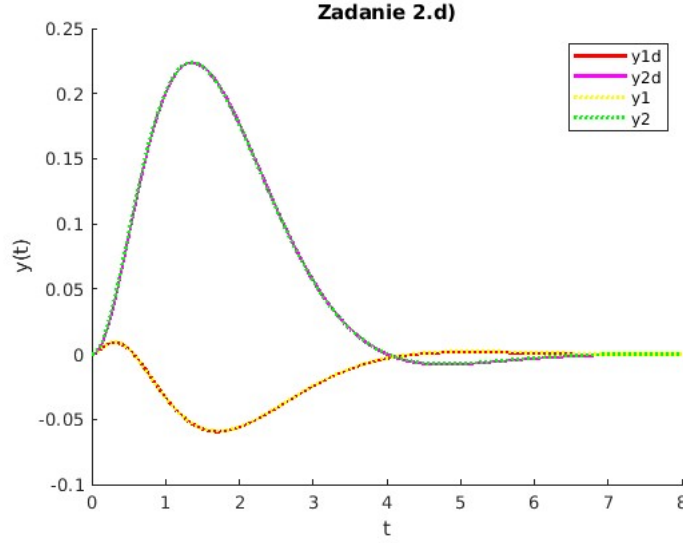
Przekształcamy wzór *metody (d)* (5.1.1). Najpierw rozwijamy \mathbf{f}_k w (5.2.1)-(5.2.2)

$$\mathbf{y}_n = \mathbf{y}_{n-1} + h \sum_{k=1}^3 w_k \mathbf{f}_k \quad (5.1.1)$$

gdzie $\mathbf{f}_k = \mathbf{f}(t_{n-1} + c_k h, \mathbf{y}_{n-1} + h \sum_{K=1}^3 a_{K,k} \mathbf{f}_k)$, a współczynniki $\alpha_{i,i}, \omega_i, c_i$ przyjmują wartości podane w tabeli Butchera na rysunku 1.

$$\begin{cases} \mathbf{f}_1 = A(\mathbf{y}_{n-1} + h\alpha_{1,1}\mathbf{f}_1 + h\alpha_{1,2}\mathbf{f}_2 + h\alpha_{1,3}\mathbf{f}_3) + \mathbf{b}x(t_{n-1} + c_1h) \\ \mathbf{f}_2 = A(\mathbf{y}_{n-1} + h\alpha_{2,1}\mathbf{f}_1 + h\alpha_{2,2}\mathbf{f}_2 + h\alpha_{2,3}\mathbf{f}_3) + \mathbf{b}x(t_{n-1} + c_2h) \\ \mathbf{f}_3 = A(\mathbf{y}_{n-1} + h\alpha_{3,1}\mathbf{f}_1 + h\alpha_{3,2}\mathbf{f}_2 + h\alpha_{3,3}\mathbf{f}_3) + \mathbf{b}x(t_{n-1} + c_3h) \end{cases} \quad (5.2.1)$$

$$\begin{cases} (I - h\alpha_{1,1}A)\mathbf{f}_1 + (-h\alpha_{1,2}A)\mathbf{f}_2 + (-h\alpha_{1,3}A)\mathbf{f}_3 = A\mathbf{y}_{n-1} + \mathbf{b}x(t_{n-1} + c_1h) \\ (-h\alpha_{2,1}A)\mathbf{f}_1 + (I - h\alpha_{2,2}A)\mathbf{f}_2 + (-h\alpha_{2,3}A)\mathbf{f}_3 = A\mathbf{y}_{n-1} + \mathbf{b}x(t_{n-1} + c_2h) \\ (-h\alpha_{3,1}A)\mathbf{f}_1 + (-h\alpha_{3,2}A)\mathbf{f}_2 + (I - h\alpha_{3,3}A)\mathbf{f}_3 = A\mathbf{y}_{n-1} + \mathbf{b}x(t_{n-1} + c_3h) \end{cases} \quad (5.2.2)$$



Rysunek 6: Wykres wyników funkcji implementującej metodę (d)

Przekształćmy to do postaci (5.3.1), gdzie (5.3.2) oraz (5.3.3)

$$\mathbf{g} = L \backslash \mathbf{p} \quad (5.3.1)$$

$$\mathbf{g} = \begin{bmatrix} \mathbf{f}_1 \\ \mathbf{f}_2 \\ \mathbf{f}_3 \end{bmatrix}, \quad \mathbf{p} = \begin{bmatrix} A\mathbf{y}_{n-1} + \mathbf{b}x(t_{n-1} + c_1h) \\ A\mathbf{y}_{n-1} + \mathbf{b}x(t_{n-1} + c_2h) \\ A\mathbf{y}_{n-1} + \mathbf{b}x(t_{n-1} + c_3h) \end{bmatrix} \quad (5.3.2)$$

$$L = \begin{bmatrix} (I - h\alpha_{1,1}A) & (-h\alpha_{1,2}A) & (-h\alpha_{1,3}A) \\ (-h\alpha_{2,1}A) & (I - h\alpha_{2,2}A) & (-h\alpha_{2,3}) \\ (-h\alpha_{3,1}) & -h\alpha_{3,2}) & (I - h\alpha_{3,3}A) \end{bmatrix} \quad (5.3.3)$$

Wyliczamy \mathbf{g} dla zmiennych symbolicznych $x1$, $x2$, $x3$, $yn1$, $yn2$, gdzie $x1 = x(t_{n-1} + c_1h)$, $x2 = x(t_{n-1} + c_2h)$, $x3 = x(t_{n-1} + c_3h)$ oraz $\mathbf{y}_{n-1} = [yn1, yn2]^T$

Następnie przekształcamy nasz wektor \mathbf{g} za pomocą procedury **matlabFunction** Otrzymaliśmy wektor funkcji, które możemy podstawić do wzoru (5.1.1)

Wykres wyników dla $h=0.005$, gdzie $y_1 = \dot{y}_1$, $y_2 = \dot{y}_2$ oraz $y1d, y2d$ - przybliżone wartości rozwiązań **URRZ** (1), uzyskane za pomocą funkcji *zad2d* implementującej metodę (d), jest przedstawiony na rysunku 6

3.6 Badanie zależności dokładności rozwiązań numerycznych uzyskanych za pomocą *metod (b), (c), (d)*

Jako kryterium dokładności rozwiązań przyjmujemy zagregowane błędy względne $\delta_1(h), \delta_2(h)$ zdefiniowane wzorami (6.1)

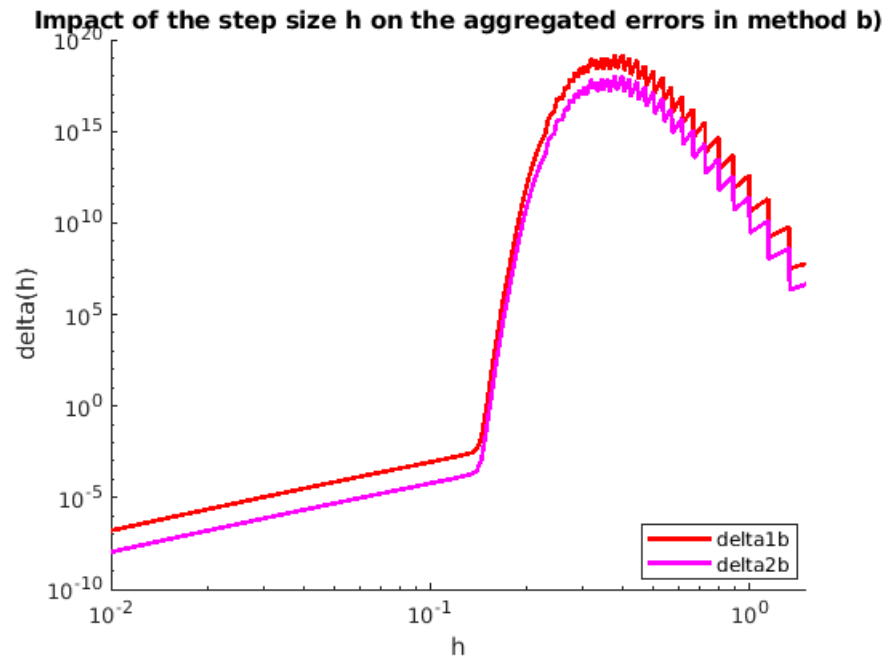
$$\delta_1(h) = \frac{\sum_{n=1}^{N(h)} (\hat{y}_1(t_n, h) - y_1(t_n))^2}{\sum_{n=1}^{N(h)} (y_1(t_n))^2}, \quad \delta_2(h) = \frac{\sum_{n=1}^{N(h)} (\hat{y}_2(t_n, h) - y_2(t_n))^2}{\sum_{n=1}^{N(h)} (y_2(t_n))^2} \quad (6.1)$$

Stworzymy też dwie funkcje pomocnicze, *procescurrenth* oraz *countdeltas1*. Funkcja *procescurrenth* przyjmuje bieżącą wartość h oraz y_1, y_2 - wartości dokładne rozwiązania **URRZ** (1) od funkcji głównej, *zad3*, liczy dla otrzymanego h przybliżone wartości $y_1(t), y_2(t)$ za pomocą *metod (b), (c), i (d)* i przekazuje ich parami do funkcji *countdeltas1*, która z kolei liczy dla przekazanej pary wartości $\delta_1(h), \delta_2(h)$

Wykres wyników dokładności rozwiązań uzyskanych *metodą (b)* dla $h \in [0.1, 1.5]$, gdzie $\delta_1(h), \delta_2(h)$ jest przedstawiony na rysunku 7

Wykres wyników dokładności rozwiązań uzyskanych *metodą (c)* dla $h \in [0.01, 1.5]$, gdzie $\delta_1(h), \delta_2(h)$ jest przedstawiony na rysunku 8

Wykres wyników dokładności rozwiązań uzyskanych *metodą (d)* dla $h \in [0.1, 1.5]$, gdzie $\delta_1(h), \delta_2(h)$ jest przedstawiony na rysunku 9



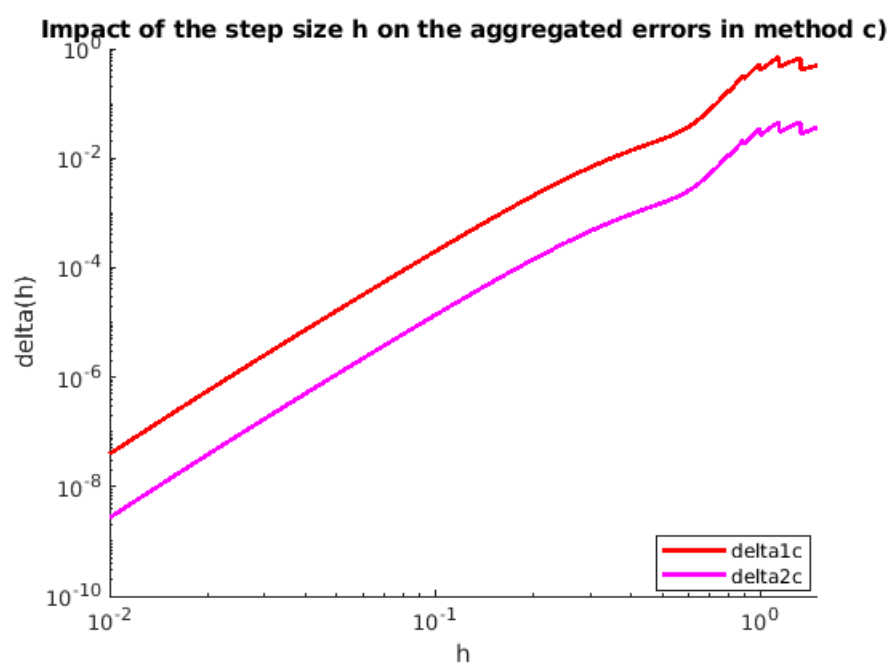
Rysunek 7: Wykres dokładności rozwiązań numerycznych dla metody (b) w zależności od kroku h

4 Dyskusja wyników eksperymentów numerycznych

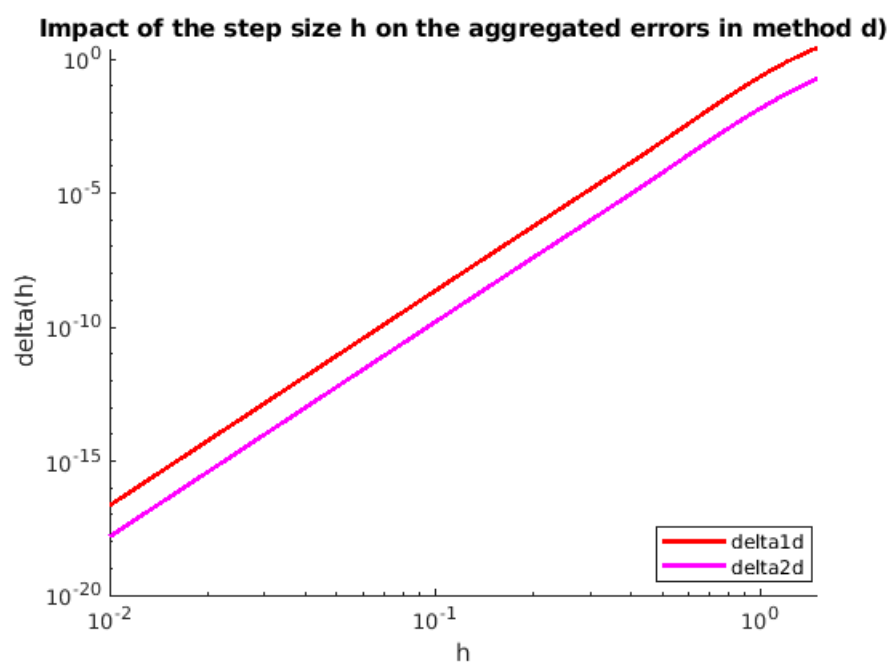
Porównajmy dokładność rozwiązań numerycznych dla małego kroku, jak np $h=0.01$ w tabelach (4) i (5)

(4)	—	Metoda (b)	Metoda (c)	Metoda(d)
	$\delta_1(0.01)$	0.00000002	0.00000004	0.00000000000000000002
	$\delta_1(0.15)$	4.5194916	0.0008	0.000000004
	$\delta_1(0.2)$	1085064626320	0.002	0.000000055

(5)	—	Metoda (b)	Metoda (c)	Metoda(d)
	$\delta_2(0.01)$	0.000000011	0.000000003	0.00000000000000000001
	$\delta_2(0.15)$	0.31	0.000057	0.000000062590
	$\delta_2(0.2)$	74412125424	0.00013	.00 00000038



Rysunek 8: Wykres dokładności rozwiązań numerycznych dla metody (c) w zależności od kroku h



Rysunek 9: Wykres dokładności rozwiązań numerycznych dla metody (d) w zależności od kroku h

Możemy zaobserwować, że *metoda (b)* traci stabilność w okolicy $h=0.15$ ale jest stabilna dla wszystkich mniejszych h . *Metoda (c)* traci stabilność w okolicy $h=0.6$, lecz przy wykorzystaniu *metody (d)* obserwujemy zachowanie stabilności dla kroku tak dużego jak $h=1$ i nawet $h = 1.5$, co jest naprawdę imponujące.

5 Wnioski

Z względu na obserwację wykonane w poprzednim rozdziale, możemy wywnioskować, że *metoda (b)* nie jest dobrą metodą na przybliżanie **URRZ** (1) z krokiem większym niż 0.005. Błąd rośnie bardzo szybko tak dla *metody (b)*, jak i dla *metody (c)*, chociaż dla *metody(c)* odrobinę wolniej. *Metoda (d)* daje o wiele dokładniejsze wyniki, i też pozwala na mniejszą ilość obliczeń potrzebnych do uzyskania zadowalającego wyniku (dostaniemy wynik o dobrej dokładności nawet jeśli weźmiemy mniejszą liczbę przedziałów) w porównaniu z *metodami (b)* oraz *(c)*.

6 Listing programów

6.1 zad1.m

```
1 function [y1sol, y2sol] = zad1()
2 % Solving a system of differential equations
   provided below with built-in
3 % matlab function dsolve
4 %  $dy_1(t)/dt = (-26/3)y_1(t) - (10/3)y_2(t) + x(t)$ 
5 %  $dy_2(t)/dt = (10/3)y_1(t) - (1/3)y_2(t) + x(t)$ 
6 % over the interval  $[0,8]$ , where  $x(t) = \exp(-t)\sin(t)$ 
   ),
7 % for zero initial conditions
8 % INPUT: NONE
9 % OUTPUT:
10 %   y1sol, y2sol - vectors containing solutions y_1
   and y_2 found by dsolve
11 %
   over the interval  $[0,8]$ 
12
13 syms t y1(t) y2(t);
14 x = exp(-t)*sin(t);
15 eqns = [ diff(y1, t) == -26/3*y1 - 10/3*y2 + x,...
16         diff(y2, t) == 10/3*y1 - 1/3*y2 + x];
17 conds = [y1(0) == 0, y2(0) == 0];
18 [y1sol(t), y2sol(t)] = dsolve(eqns, conds);
19
20 end % function
```

6.2 zad2a.m

```
1 function [t,y] = zad2a()
2 % Solving a system of differential equations
   provided below with built-in
3 % matlab function ode45
4 %  $dy_1(t)/dt = (-26/3)y_1(t) - (10/3)y_2(t) + x(t)$ 
5 %  $dy_2(t)/dt = (10/3)y_1(t) - (1/3)y_2(t) + x(t)$ 
6 % over the interval  $[0,8]$ , where  $x(t) = \exp(-t)\sin(t)$ 
   ),
7 % for zero initial conditions
```



```

8 % INPUT: NONE
9 % OUTPUT:
10 %   y1sol, y2sol - vectors containing solutions y_1
    and y_2 found by dsolve
11 %               over the interval [0,8]
12
13 tspan = [0 8];
14 [t,y] = ode45(@rown,tspan,zeros(2,1));
15
16 end % function

```

6.3 rown.m

```

1 function dydt = rown(t,y)
2 % Packing a system of differential equations
    provided below
3 %  $dy_1(t)/dt = (-26/3)y_1(t) - (10/3)y_2(t) + x(t)$ 
4 %  $dy_2(t)/dt = (10/3)y_1(t) - (1/3)y_2(t) + x(t)$ 
5 % into a single vector
6 % INPUT: NONE
7 % OUTPUT:
8 %   dydt - vector that contains the system of
    differential equations,
9 %       provided in the description of the
    function
10
11 dydt = [
12     (-26/3)*y(1)+ (-10/3)*y(2) + exp(-t)*sin(t);
13     (10/3)*y(1) + (-1/3)*y(2) + exp(-t)*sin(t)];
14
15 end % function

```

6.4 zad2bc.m

```

1 function [y1,y2] = zad2bc(h)
2 % Solving a system of differential equations
    provided below
3 %  $dy_1(t)/dt = (-26/3)y_1(t) - (10/3)y_2(t) + x(t)$ 

```

```

4 % dy_2(t)/dt = ( 10/3) y_1(t) - ( 1/3)y_2(t) + x(t)
5 % over the interval [0,8], where x(t) = exp(-t)sin(t)
6 % for zero initial conditions
7 % using methods defined by formula b) and c)
8 % b) Y_n = Y_{n-1} + (h/2)[ 3f(t_{n-1},Y_{n-1}) - f(
9 % c) Y_n = Y_{n-1} + (h/12)[ 5f(t_n,Y_n) + 8f(t_{n-1},Y_{n-1})
10 %
11 % - f(t_{n-2},Y_{n-2}) ]
12 % where Y_n = [ y_1(t_n), y_2(t_n)]'
13 % and f is defined by formula (t=t_n)=> dY(t)/dt =
14 % f(t_n, Y_n);
15 % INPUT :
16 % h - size of the step
17 % OUTPUT:
18 % y1, y2 - are vectors [y_1, y_2]', containg y_1
19 % and y_2 calculated
20 % using method b) and c) accordingly
21
22 tspan = [0 8];
23 t = tspan(1):h:tspan(2); % time vector t
24 x = exp(-t).*sin(t);
25 n = length(t);
26 A = [-26/3, -10/3;
27      10/3, -1/3];
28 b = ones(2,1);
29 y1 = zeros(2,n);
30 y2 = zeros(2,n);
31 y1(:,2) = (eye(2) -h*A)\(y1(:,1) + h*b*x(2)); % b)
32 y2(:,2) = (eye(2) -h*A)\(y2(:,1)+h*b*x(2)); % c)
33 for i = 3:n
34     % b)
35     y1(:,i) = (eye(2) + (3*h/2)*A)*y1(:,i-1) + b*x(i-1)*(3*h/2) - ...
36     (h/2)*( A*y1(:,i-2) + b*x(i-2));
37     % c)
38     y2(:,i) = (eye(2) -(5*h/12)*A)\...
39     ( (eye(2) + (8*h/12)*A)*y2(:,i-1) + (5*h/12)
40     *b*x(i) + ...

```

```

37         (8*h/12)*b*x(i-1) - (h/12)*(A*y2(:,i-2) + b*
           x(i-2)) );
38 end
39
40 end % function

```

6.5 zad2d.m

```

1 function y = zad2d(h)
2 % Solving a system of differential equations
  provided below
3 % dy_1(t)/dt = ( -26/3)y_1(t) - ( 10/3)y_2(t) + x(t)
4 % dy_2(t)/dt = ( 10/3) y_1(t) - ( 1/3)y_2(t) + x(t)
5 % over the interval [0,8], where x(t) = exp(-t)sin(t
  ),
6 % for zero initial conditions
7 % using the method defined by formula d)
8 % d) Y_n = Y_{n-1} + h      {k=1...3} w_k*f_k,
9 % where Y_n = [ y_1(t_n), y_2(t_n)]' ,
10 % f_k = f(t_{n-1} + c_k*h, y_{n-1} + h*      {K=1...3}
    a_{k,K}f_K ,
11 % coefficients w_*, a_{*,*} and c_* are taken from
    the Butcher's table
12 % and f is defined by formula (t=t_n)=> dY(t)/dt =
    f(t_n, Y_n)
13 %
14 % Butcher's table
15 % c_1 | a_{1,1} | a_{1,2} | a_{1,3}
16 % c_1 | a_{2,1} | a_{2,2} | a_{2,3}
17 % c_1 | a_{3,1} | a_{3,2} | a_{3,3}
18 % -----
19 %      | w_1   | w_2   | w_3
20 %
21 %      |      |
22 %      v      v
23 %
24 %  0   | 1/6 | -1/6 |  0
25 % 1/2  | 1/6 |  1/3 |  0
26 %  1   | 1/6 |  5/6 |  0

```

```

27 % -----
28 %      | 1/6 | 2/3 | 1/6
29 %
30 % INPUT :
31 %      h - size of the step
32 % OUTPUT:
33 %      y1 - horizontal vector [y_1, y_2]', containg y_1
           and y_2
34 %          calculated using method d)
35
36 % Creating a matrix of coefficients
37 al = [ 1/6, -1/6, 0;
38        1/6, 1/3, 0;
39        1/6, 5/6, 0];
40 A = [ -26/3, -10/3;
41       10/3, -1/3 ];
42 I = eye(2); % identity matrix
43 b = ones(2,1);
44 syms x1 x2 x3 yn1 yn2;
45 L = [ (I-h*al(1,1)*A), -h*al(1,2)*A, -h*al(1,3)*A;
46       -h*al(2,1)*A, (I-h*al(2,2)*A), -h*al(2,3)*A;
47       -h*al(3,1)*A, -h*al(3,2)*A, (I-h*al(3,3)*A) ];
48 p = [ (A*[yn1;yn2]) + b*x1;
49       (A*[yn1;yn2]) + b*x2;
50       (A*[yn1;yn2]) + b*x3;];
51 g = L\p;
52 % Main part of the task
53 tspan = [0,8];
54 t = tspan(1):h:tspan(2);
55 x = @(t) exp(-t).*sin(t);
56 N = length(t);
57 y = zeros(2,N);
58 w = [1/6, 2/3, 1/6];
59 gn = matlabFunction(g);
60
61 for i = 2:N
62     gi = gn(x(t(i-1)), x(t(i-1)+1/2*h), x(t(i)), y
           (1,i-1), y(2,i-1));
63     y(:,i) = y(:,i-1) + h*(w(1)*gi(1:2) +w(2)*gi
           (3:4) + w(3) * gi(5:6));
64 end

```

```

65
66 end % function

```

6.6 plotter.m

```

1 function plotter()
2 % Comparing the solutions of the system of
   differential equations
3 % provided below
4 %  $dy_1(t)/dt = (-26/3)y_1(t) - (10/3)y_2(t) + x(t)$ 
5 %  $dy_2(t)/dt = (10/3)y_1(t) - (1/3)y_2(t) + x(t)$ 
6 % where  $x(t) = \exp(-t)\sin(t)$ , over the interval
   [0,8]
7 % for zero initial conditions.
8 % The solutions are calculated by functions:
9 % zad1 (being referred to as dsolve in the code
   below),
10 % zad2a (being referred to as ode45 in the code
   below)
11 % zad2bc ( being referred to as 'method b)' and '
   method c)' in code below)
12 % for more details visit function's specification
13 % zad2d (being referred to as 'method d)' in the
   code below),
14 % INPUT: NONE
15 % OUTPUT: NONE
16
17 % Calculating solutions
18 h = 0.005; % step
19 [y1sol,y2sol] = zad1(); % dsolve, considered an '
   exact' solution
20 y_d = zad2d(h); % method d)
21 [t_a,y_a] = zad2a(); % ode45
22 [y_b,y_c] = zad2bc(h); % methods b) and c)
23 % creating a time vector
24 tspan = [0 8];
25 t = tspan(1):h:tspan(2);
26 % plotting
27 % ode45

```

```

28 help_plotter(1, t_a, t, y1sol, y2sol, y_a', "ode45",
    ["y_1ode", "y_2ode"]);
29 % method b)
30 help_plotter(2, t, t, y1sol, y2sol, y_b, "Method b)
    ", ["y_1b", "y_2b"]);
31 % method c)
32 help_plotter(3, t, t, y1sol, y2sol, y_c, "Method c)
    ", ["y_1c", "y_2c"]);
33 % method d)
34 help_plotter(4, t, t, y1sol, y2sol, y_d, "Method d)
    ", ["y_1d", "y_2d"]);
35 % dsolve
36 figure(5)
37 plot(t, y1sol(t), "y", t, y2sol(t), "g", 'LineWidth', 2
    );
38 legend('y1(t)', 'y2(t)');
39 xlabel('t');
40 ylabel('y(t)');
41
42 end % function

```

6.7 help_plotter.m

```

1 function help_plotter(f_ind, tmethod, t, y1, y2,
    ymethod, mtitle, slegend)
2 % Plotting an approximated solution of the system of
    differential equations
3 % provided below
4 %  $dy_1(t)/dt = (-26/3)y_1(t) - (10/3)y_2(t) + x(t)$ 
5 %  $dy_2(t)/dt = (10/3)y_1(t) - (1/3)y_2(t) + x(t)$ 
6 % where  $x(t) = \exp(-t)\sin(t)$ , over the interval
    [0,8]
7 % for zero initial conditions,
8 % in order to compare with exact solution
9 % INPUT:
10 %   f_ind   - figure index
11 %   tmethod - time vector for approximated
    solutions
12 %   t       - time vector for exact solutions

```

```

13 %   y1, y2   - horizontal vectors containing exact
    solutions
14 %   ymethod  - array consisting of approximated
    solutions of y1 and y2
15 %           accordingly
16 %   mtitle   - title for the plot, for example name
    of the method used
17 %           to calculate approximated solutions
18 %   slegend  - vector consisting of legend for
    approximated solutions
19 %           of y1 and y2 accordingly
20 % OUTPUT: NONE
21
22 figure(f_ind)
23 hold on;
24 plot(tmethod, ymethod(1,:), "r", tmethod, ymethod
    (2,:), "m", "LineWidth", 2);
25 plot(t, y1(t), ":y", t, y2(t), ":g", 'LineWidth', 2 );
26 legend(slegend(1), slegend(2), 'y1', 'y2');
27 xlabel('t');
28 ylabel('y(t)');
29 title(mtitle);
30
31 end % function

```

6.8 zad3.m

```

1 function zad3()
2 % Examining the impact of the step size h on the
    aggregated errors delta_1
3 % and delta_2 defined by the formulas:
4 %  $\delta_1(h) = \frac{1}{N(h)} \sum_{n=1}^{N(h)} (\hat{y}_1(t_n, h) - y_{dot1}(t_n))^2$ 
5 %  $\delta_2(h) = \frac{1}{N(h)} \sum_{n=1}^{N(h)} (\hat{y}_2(t_n, h) - y_{dot2}(t_n))^2$ 
6 %
7 %  $\delta_1(h) = \frac{1}{N(h)} \sum_{n=1}^{N(h)} (\hat{y}_1(t_n, h) - y_{dot1}(t_n))^2$ 
    
$$\delta_1(h) = \frac{1}{N(h)} \sum_{n=1}^{N(h)} (\hat{y}_1(t_n, h) - y_{dot1}(t_n))^2$$

    
$$\delta_2(h) = \frac{1}{N(h)} \sum_{n=1}^{N(h)} (\hat{y}_2(t_n, h) - y_{dot2}(t_n))^2$$


```

```

8 %                                     [      {n=1..N
    (h)} ( ydot2(t_n)^2) ]
9 %
10 % where ydot1 and ydot2 are exact solutions of the
    system of differential
11 % equations provided below, solved using built-in
    matlab function dsolve
12 % dy_1(t)/dt = ( -26/3)y_1(t) - ( 10/3)y_2(t) + x(t)
13 % dy_2(t)/dt = ( 10/3) y_1(t) - ( 1/3)y_2(t) + x(t)
14 % over the interval [0,8], where x(t) = exp(-t)sin(t
    ),
15 % for zero initial conditions
16 %
17 % and yhat1 and yhat2 are their approximations
    accordingly
18 %
19 % INPUT: NONE
20 % OUTPUT: NONE
21
22 % setting the limits for step step sizes to be
    examined
23 hmin = 0.01;
24 hmax = 1.5;
25 % creating a vector of the step sizes
26 h = linspace(hmin, hmax, 300);
27 n = length(h);
28 % extracting 'exact' solution, ydot1 and ydot2
29 [ydot1,ydot2] = zad1;
30 % preallocating space
31 deltasb = zeros(2,n);
32 deltasb = zeros(2,n);
33 deltasd = zeros(2,n);
34 for i = 1:n
35     currdeltas = procescurrenth(h(i), ydot1, ydot2);
36     deltasb(:,i) = currdeltas(1,:);
37     deltasb(:,i) = currdeltas(2,:);
38     deltasd(:,i) = currdeltas(3,:);
39 end
40 % plotting
41 % method b)
42 help_zad3(1,h,deltasb, "b");

```



```

43 % method c)
44 help_zad3(2, h, deltas, "c");
45 % method d)
46 help_zad3(3, h, deltas, "d");
47
48 end % function

```

6.9 procescurrenth.m

```

1 function deltas = procescurrenth(h, ydot1, ydot2)
2 % calculating approximated solutions of the system
  % of differential
3 % equations provided below:
4 %  $dy_1(t)/dt = (-26/3)y_1(t) - (10/3)y_2(t) + x(t)$ 
5 %  $dy_2(t)/dt = (10/3)y_1(t) - (1/3)y_2(t) + x(t)$ 
6 % over the interval [0,8], where  $x(t) = \exp(-t)\sin(t)$ 
  %),
7 % for zero initial conditions
8 % using ode45 and other methods ( b), c) and d),
9 % for more details see function descriptions of
  % zad2bc and zad2d)
10 % and calculating their aggregated errors delta_1
  % and delta_2
11 % (for formulas see zad3)
12 % INPUT:
13 %   h           - current step size
14 %   ydot1, ydot2 - vectors of 'exact' solutions of
  % the above's system of
15 %               differential equations
16 % OUTPUT:
17 %   deltas      - vertical vector consisting of
  % three sets of
18 %               [delta_1, delta_2] calculated for
  % methods b), c)
19 %               and d) accordingly
20
21 tspan = [0,8];
22 t = tspan(1):h:tspan(2);
23 y1 = double(ydot1(t));

```

```

24 y2 = double(ydot2(t));
25 y1sum = sum(y1.*y1);
26 y2sum = sum(y2.*y2);
27 [ybhat, ychat] = zad2bc(h); % method b) and method c
    )
28 ydhat = zad2d(h); % method d)
29 deltas = zeros(3,2);
30 deltas(1,:) = countdeltas1(ybhat,y1,y2);
31 deltas(2,:) = countdeltas1(ychat,y1,y2);
32 deltas(3,:) = countdeltas1(ydhat,y1,y2);
33 deltas(:,1) = deltas(:,1)/y1sum;
34 deltas(:,2) = deltas(:,2)/y2sum;
35
36 end % function

```

6.10 countdeltas.m

```

1 function [delta1,delta2] = countdeltas1(yhat,y1,y2)
2 % Partly calculating the values of aggregated errors
    delta_1
3 % and delta_2 defined by the formulas:
4 %  $\delta_1(h) = \frac{1}{N(h)} \sum_{n=1}^{N(h)} (yhat1(t_n,h) - ydot1(t_n))^2$  /
5 %  $\delta_2(h) = \frac{1}{N(h)} \sum_{n=1}^{N(h)} (yhat2(t_n,h) - ydot2(t_n))^2$  /
6 %
7 %  $\delta_1(h) = \frac{1}{N(h)} \sum_{n=1}^{N(h)} (yhat1(t_n,h) - ydot1(t_n))^2$  /
8 %  $\delta_2(h) = \frac{1}{N(h)} \sum_{n=1}^{N(h)} (yhat2(t_n,h) - ydot2(t_n))^2$  /
9 %
10 % where ydot1 and ydot2 are exact solutions of a
    certain system
11 % of differential equations
12 % and yhat1 and yhat2 are their approximations
    accordingly
13 % INPUT:
14 % yhat - array: [yhat1;yhat2] consisting
    of the approximated

```

```

15 %           solutions of a certain system of
    differential equations
16 % y1, y2           - vectors of exact solution
17 % OUTPUT:
18 % delta1, delta2 - partly calculated vectors of
    delta_1 and delta_2
19 %           accordingly
20
21 s11 = (yhat(1,:) - y1);
22 s11 = sum(s11.*s11);
23 delta1 = s11;
24 s21 = yhat(2,:) - y2;
25 s21 = sum(s21.*s21);
26 delta2 = s21;
27
28 end % function

```

6.11 help_zad3.m

```

1 function help_zad3(f_ind, H, deltasm, mn)
2 % Plotting the impact of the step size h on the
    aggregated errors delta_1
3 % and delta_2 defined by the formulas:
4 %  $\delta_1(h) = \left[ \sum_{n=1}^{N(h)} (\hat{y}_1(t_n, h) - \dot{y}_1(t_n))^2 \right] /$ 
5 %  $\left[ \sum_{n=1}^N (h) \right] \left( \dot{y}_1(t_n)^2 \right)$ 
6 %
7 %  $\delta_2(h) = \left[ \sum_{n=1}^{N(h)} (\hat{y}_2(t_n, h) - \dot{y}_2(t_n))^2 \right] /$ 
8 %  $\left[ \sum_{n=1}^N (h) \right] \left( \dot{y}_2(t_n)^2 \right)$ 
9 % where ydot1 and ydot2 are exact solutions and
    yhat1 and yhat2 are their
10 % approximations accordingly
11 % INPUT:
12 % f_ind - figure index
13 % H - vector of step sizes

```

```

14 %   deltasm - array consisting of two vectors of
    aggregated error values,
15 %           delta1 and delta2, where
16 %           deltai(j) corresponds to the step size
    h(j)
17 %           for i = 1,2 and j = 1,...,length(h)
18 %   mn      - string consisting of a name of the
    method used to calculate
19 %           yhat1 and yhat2
20 % OUTPUT: NONE
21
22 figure(f_ind)
23 clf;
24 hold on;
25 plot(H,deltasm(1,:), "r", H,deltasm(2,:), "m", "
    LineWidth",2);
26 title("Impact of the step size h on the aggregated
    errors in method " +...
27       mn +")");
28 legend("delta1" + mn, "delta2"+ mn);
29 xlabel("h");
30 ylabel("delta(h)");
31 xscale('log')
32 yscale('log')

```